



Souad Abbas Mashari

College of Education for Humanities / University of
Tikrit

Raed Abdul Halim Abdul Qadir

College of Education for Humanities / University of
Tikrit

* Corresponding author: E-mail :

٠٧٧١٨٠٢٧٧٨٢٣

souadabas14@st.tu.edu.iq

Keywords:

In
fi
C
M
F

ARTICLE INFO

Article history:

Received	15 July 2024
Received in revised form	25 July 2024
Accepted	17 Aug 2024
Final Proofreading	2 Feb 2025
Available online	3 Feb 2025

E-mail t-jtuh@tu.edu.iq

©THIS IS AN OPEN ACCESS ARTICLE UNDER
THE CC BY LICENSE

<http://creativecommons.org/licenses/by/4.0/>



DOI: <http://doi.org/10.25130/jtuh.32.2.2025.07>

خصائص الجريان السطحي وإمكانية الحصاد المائي في منطقة شمال قضاء الموصل

تقدير حجم الجريان السطحي وفق طريقة (SCS-CN)

سعاد عباس مشاري الجميلي / جامعة تكريت / كلية التربية للعلوم الإنسانية

رائد عبدالحليم عبد القادر / جامعة تكريت / كلية التربية للعلوم الإنسانية

الخلاصة:

اعتمدت الباحثة على طريقة (SCS-CN) التي أعدتها دائرة الحفاظ على البيئة في وزارة الزراعة الأمريكية في عام ١٩٧٠ ، وتم إعداد صيغتها الشهيرة في عام ١٩٨٦ . وطريقة (SCS) وهي عبارة عن مجموعة من المعطيات الرياضية التي تعطي معلومات عن غطاء الأرض، وأسلوب استخدام الأرضي، وهيدرولوجية التربة، ونوع الغطاء النباتي، ومقدار الأمطار وذلك لمعرفة خصائص الجريان السطحي للماء وإمكانية حصاد المياه الموجودة في حوض وادي الير ، من خلال معرفة وتحليل وصف الغطاء الأرضي، وتحديد أنواع هيدرولوجيا التربة بالمنطقة ومعرفة أنواع هيدرولوجيا التربة في المنطقة، وتحديد الحالة المسبقة لرطوبة التربة. وذلك من خلال معرفة وتحليل وصف الغطاء الأرضي ومعرفة وصف الغطاء الأرضي ومعرفة أنواع التربة الهيدرولوجية الموجودة في المنطقة ومعرفة الحالة المسبقة لرطوبة التربة، وبمعرفة وصف الغطاء الأرضي ومعرفة أنواع التربة الهيدرولوجية في المنطقة وتحديد الحالة المسبقة لرطوبة التربة، وبعد استكمال هذه العناصر الثلاثة يتم تحديد قيم (CN) الذي يعبر عن نفاذية التربة، ومعامل (S) الذي يُظهر أقصى طاقة احتفاظ بالمياه للتربة، ومعامل (LA) الذي يوضح كمية القدر من مياه الأمطار التي تضيع قبل حدوث الجريان السطحي، ومعامي (2. Soc. Engs) و (CV)، اللذان يعبران عن مدى عمق وحجم كمية الجريان السطحي للمياه في المنطقة.

❖ الكلمات المفتاحية : حجم الجريان المائي السطحي، نموذج الارتفاع الرقعي (DEM) ، عمق الجريان.

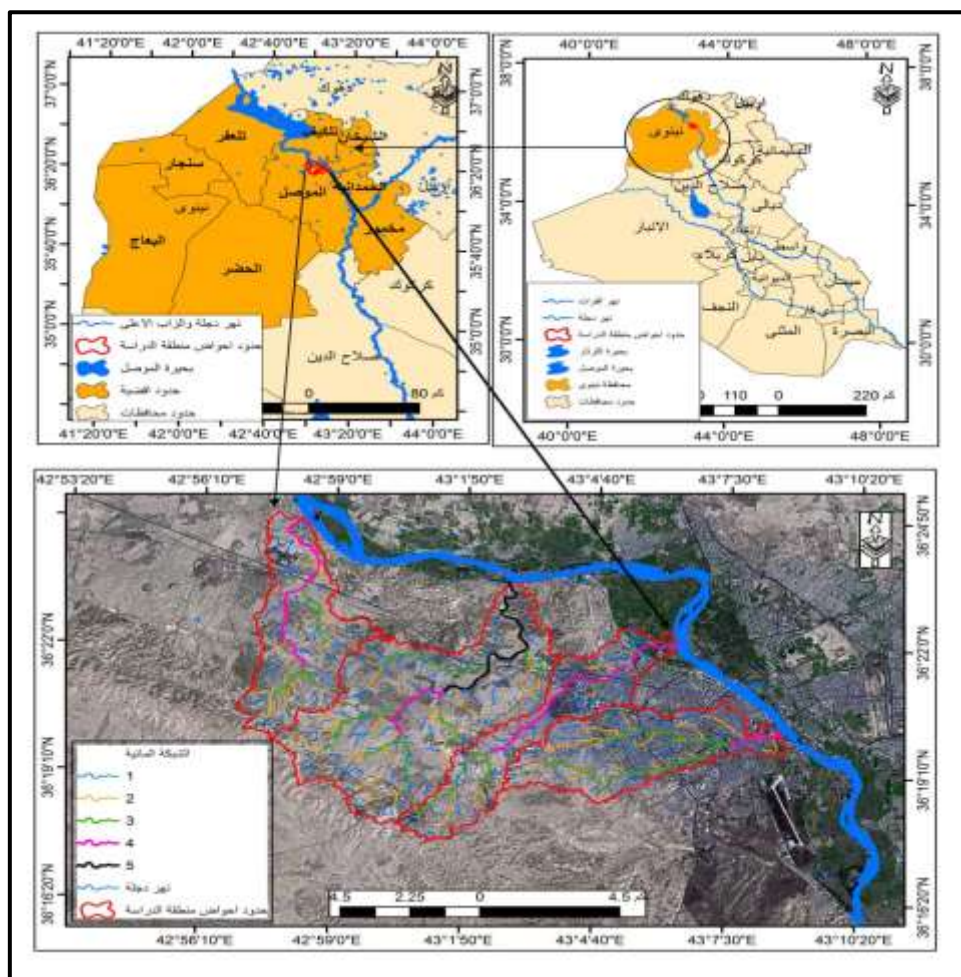
المقدمة:

يهدف هذا البحث إلى تصنيف الاراضي وغطاءها في منطقة الدراسة ، وتحديد السمات الهيدرولوجية للترابة للوصول إلى قيمة (CN) والتي تعتبر قابلية التربة في تحول مياه الأمطار إلى جريان السطحي المائي ، من خلال فهم ومعرفة صورة هذا العلاقة تعرف على النظام الهيدرولوجي والجريان السطحي والذي يمثل المرحلة الأخيرة لمياه الأمطار، والية الاستفادة من هذا الجريان لكونه مورداً مائياً طبيعياً وتسخير هذا الموارد في المنطقة وتطويرها في جميع الحالات يجب استثمار المياه الأمطار في الجريان

(١-١) موقع منطقة الدراسة :- Border of study Area

تقع منطقة للدراسة لأحواض للوديان في القسم الشمالي من قضاء الموصل ، ضمن الحدود الإدارية لمحافظة نينوى بين خطى طول (" ٤٣°,٨' - ٤٣°,٧') شماليًّاً ودائرة عرض (" ٣٦°,٣' - ٣٦°,٤٢') شرقاً بمساحة تقدر بحوالي (١٠٢,٩٩) كم^٢ ، كما موضح في خريطة (١)، يحدها من الشمال قضاء تلکيف ومن الشرق قضاء الحمدانية ومن الغرب قضاء تلعفر ومن الجنوب قضاء حمام العليل.

خرطة (١) موقع منطقة الدراسة



المصدر:- من عمل الباحثة من خلال دراسة خريطة العراق الإدارية بمقاييس رسم 1/1000000

(١-٢) مشكلة الدراسة :- هل يمكن تقدير حجم الجريان السطحي للأحواض المائية . ما هي الدلالات الهيدرولوجية التي يمكن تحديدها باستخدام الاداة (SCS-CN) .

(١-٣) فرضية الدراسة:- تفترض الباحثة من خلال استخدام الاداة (SCS-CN) معرفة الخصائص الهيدرولوجية والمور ومتربة لأحواض والوديان في تقدير حجم الجريان السنوي وهي من اهم الخصائص الطبيعية .

(١-٤) هدف البحث :- يهدف البحث الى اهمية المناطق الجافة وشبكة الجافة من خلال الموارد الطبيعية في عمليات التنمية ومعرفة المصادر المائية والدراسات المناخية المتعلقة بالأنشطة البشرية وكيف الدراسة الهيدرولوجية لأحواض الوديان , باستخدام التقنيات الحديثة (GIS) .

(١-٥) مبررات البحث:- عدم وجود دراسات لتقدير حجم الجريان المائي في أحواض والوديان شمال قضاء الموصل باستخدام المعادلات الخاصة بالموضوع , كذلك ان الدراسات الهيدرولوجية في منطقة الدراسة لها اهمية لكون المنطقة تفتقر لأنهار الدائمة الجريان وهي تستلم كميات كبيرة من الامطار في موسم الاطفال ويمكن الاستفادة منها عن طريق خزنها.

(١-٦) **منهجية البحث:**- المنهج التحليل الكمي من خلال هذا المنهج يستعمل من أجل الوصول إلى نتائج دقيقة وذلك من حيث تحليل البيانات المناخية ، والتي يرتبط بموضوع الحصاد المائي بشكل اساسي واجراء القياسات وتطبيق المعادلات والخصائص الخاصة بتقدير حجم الجريان المائي لمنطقة.

(٢-١) **تقدير حجم الجريان السطحي للوديان شمال قضاء الموصل:**

(١-٢) **حجم الجريان السطحي :**-إن الدراسات الهيدرولوجية والوديان الموسمية الجريان قائمة على أساس التساقط المطري والجريان المائي السطحي اللذين يمثلان المحور الرئيسي للمياه السطحية ، تتطلب ايجاد العلاقة من حيث السواقط والجريان الناتجة عنها لتمثيل النظام الهيدرولوجي لتقدير الجريان السطحي ، او ما يعبر عنه بالجريان المائي السطحي ، وبذلك يعرف على انه الجزء من التساقط المطري الذي يزيد من القدرة الامتصاصية لتلك التربة ويتحرك على سطح الارض متخذًا لنفسه عدة مسارات ناجمة عن جيومفولوجية الارض وانحدارها الى ان يصل المجرى فيصب فيه ويصبح جزءا منه ، ان العلاقة بين الامطار والجريان المائي السطحي هي نواة او ارتكاز هيدرولوجيا المياه السطحية ، كما أنَّ الجريان السطحي يعتبر المرحلة الأخيرة لمياه الامطار والذي بموجبه ينكشف الدور الهيدرولوجي لسطح الارض باعتباره ثروة مائية ثمينة ، وما يرتبط به من امكانية استغلاله بوصفه مورداً مائياً طبيعياً ، يمكن تحديد أفضل الوسائل لاستثمارها من ناحية وكذلك الحد من فيضانات الودي للمخاطر الناجمة عنها من الناحية أخرى، تهدف الكثير من الدراسات الهيدرولوجية للوديان المائية للحصول على معلومات خاصة عن الجريان السطحي بما في ذلك حجم وعمق الجريان بالإضافة إلى ذروة التصريف الناجمة عن العاصفة المطرية ، وذلك من خلال القياسات المباشرة في المحطات الهيدرولوجية إذا كانت الأحواض المائية مرصودة ، أما اذا كانت غير مرصودة كما هو الحال في حوض منطقة الدراسة فيتم الاعتماد على الطرق والمعادلات الرياضية وهذه تسمى بالدراسات التجريبية التي تقدم حلولاً تجريبية ، لذا تم الاعتماد على طريقة (SCS-CN) ، وتعد من أشهر الاساليب الرياضية المستخدمة في حساب الجريان السطحي في الدراسات الهيدرولوجية وتعد من بين الطرق المتوسطة التعقيد، وان هذا النموذج تطور من قبل ادارة صيانة التربة (Soil Conservation Service SCS) وهذا المقترن ان قبل صيانة التربة الامريكية عام ١٩٧٠ ، ووضعت صيغتها في عام ١٩٨٦م، وبما ان هذا النموذج يهتم بدراسة تفاصيل استعمالات الارض لحساب الجريان السطحي حيث يعتمد على التصنيف الارضي واستعمالاته وتحديداً الرطوبة المسبقة للتربة ، ويعتمد على مقدار سرعة نفاذية المياه اليها ويعتمداً على اربع مجموعات هيدرولوجية ، ويكون بذلك يعرض عن الحلول الاخرى التي لا تدخل فيها العناصر السابقة الذكر في حساب الجريان السطحي المائي ، وجرى العمل على هذا الطريقة لتقدير حجم الجريان السطحي الاحواض الوديان في المنطقة وتم العمل ضمن بيئة نظم المعلومات الجغرافية (Geography information System) بالاعتماد على برنامج Arc GIs 10.3 (Arc GIs) وتقنيات الاستشعار عن بعد ، لحصول على دقة في التقدير وبذلك يظهر الفرق في استخدام تقنية نظم المعلومات الجغرافية ومقارنتها مع الطرق الأخرى ، وامكانية الحصول على الدقة المكانية العالمية ويتم التعامل في هذا الدراسة تحديداً مع الوحدات الخلية (pixel) بأبعاد (٣٠×٣٠) متر وهذا ما يتم الحصول على تقديرات دقيقة تغطي منطقة الدراسة .

٤-١-٢) مراحل استخلاص الخصائص الجريان

تشير طريقة (SCS-CN) من أشهر الطرق استخداماً ، والذي يمثل نموذج العمليات التي اجريناها للحصول على تقديرات السيلوجي وتكون بشكل دقيق لاستكمال عملية الحصاد المائي لمنطقة الدراسة المثلالية ، ان أسلوب النموذج الرياضي (SCS-CN) عبارة عن سلسلة من المعادلات التي تعتمد على مجموعة من المتغيرات التي تدخل ضمن حسابه للجريان وهي نوع الغطاء النباتي وهيدرولوجية التربة وأصناف الغطاء الارضي وانماط استخدامه وكمية الأمطار الساقطة ، أما بالنسبة ل(CN) فهو يعتمد على ثلاثة متغيرات (الحالة المسبقة لرطوبة التربة-المجموعة هيدرولوجية التربة-الغطاء الارضي). ويمكن التعبير لطريقة (CN-SCS) رياضياً بالشكل الاتي:-

$$Q = \frac{(P - Ia)2}{(P - Ia) + S} \quad \text{معادلة (١)}$$

حيث ان:-

Q = عمق الجريان السطحي (بوصة).

P = الأمطار الساقطة (بوصة).

Ia = المستخلصات الأولية قبل الجريان السطحي كالتراب والاستقبال من قبل النبات والتبخّر (بوصة).

S = التجمع السطحي الأقصى بعد بداية الجريان السطحي (بوصة) وجد إن Ia تعادل خمس قيمة S وتحسب Ia كالتالي:-

$$Ia = 0.2S \quad \text{معادلة (٢)}$$

ويتم احتساب S بالصيغة الرياضية الآتية :-

$$S = \frac{1000}{CN} - 1 \quad \text{معادلة (٣)}$$

ومن خلال جبر قيمة S حولت المعادلة الرياضية لعمق الجريان واصبحت بالشكل الاتي :-

$$Q = \frac{(P - Ia)2}{(P + 0.8S)} \quad \text{معادلة (٤)}$$

ويلاحظ أنَّ مدخلات النموذج هي بالبوصة لذلك تم إعادة صياغة المعادلة لتوافق مع المقاييس المترية إذ ضربت الارقام الثابتة في المعادلة السابقة في (٤.٢٥) لتحويلها من بوصة إلى (ملم) فأصبحت صيغة المعادلة على النحو التالي .

$$S = \frac{25400}{CN} - 254 \quad \text{معادلة (٥)}$$

ولتقدير حجم الجريان السطحي بطريقة (CN-SCS) ويمكن حسابه من خلال المعادلة الآتية :-

$$QV = (Q * A / 1000) \quad \text{معادلة (٦)}$$

حيث ان:-

QV : حجم الجريان السطحي ($m^3/\text{سنة}$).

Q : عمق الجريان السطحي (ملم).

A : مساحة حوض التصريف.

. ١٠٠٠: معامل التحويل للتأكد من النتائج النهائية بالوحدة (m^3) .

ولتقدير تدفق ذروة الجريان رياضياً بالشكل الآتي:-

$$1 - \text{زمن التركيز } t_c = 0.335 \left[\frac{A}{S^{0.5}} \right]^{0.5} \quad \text{معادلة (٧)}$$

حيث ان :-

t_c = زمن التركيز بالدقائق.

s = متوسط ارتفاع المجرى الرئيسي (متر / متر).

A = مساحة الحوض المائي.

٢- حساب زمن ذروة الجريان

$$(8) \quad T_p = \left[\frac{T_c + 0.133T_c}{1.7} \right]$$

حيث ان :-

T_p = زمن ذروة الجريان.

T_c = زمن التركيز بالساعات.

٣- حساب تدفق ذروة الجريان السطحي

$$(9) \quad q_p = (m^3/s) = \left[\frac{(0.208 A Q)}{T_p} \right]$$

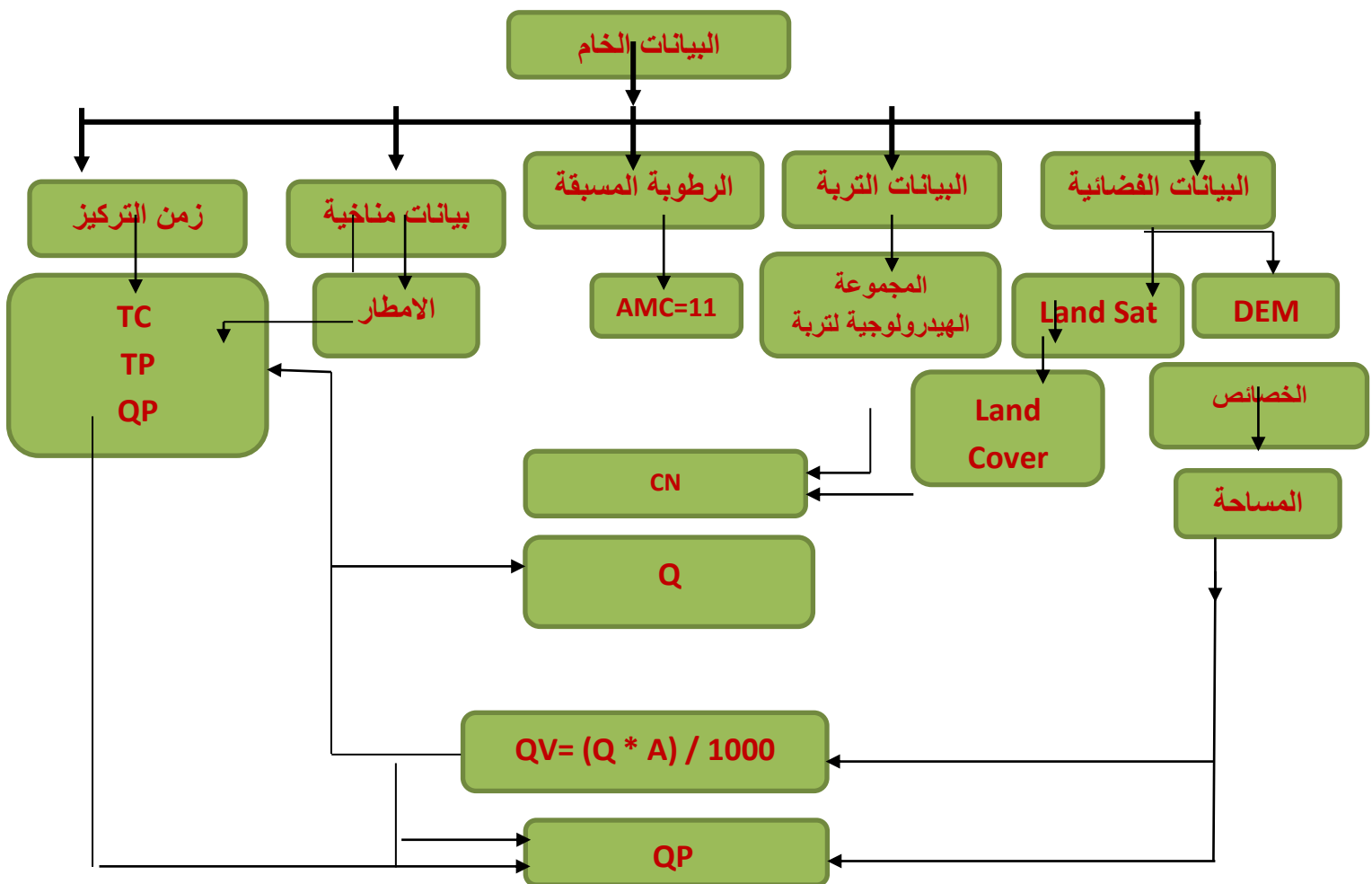
حيث ان :-

A = مساحة حوض التصريف المائي (كم^٢).

Q = كمية الجريان السطحي (ملم).

T_p = زمن وصول التدفق للذروة (ساعة) $m^3/\text{ثانية}$

شكل (١) مخطط توضيحي لمراحل استخلاص الخصائص الجريانية للأحواض المائية بحسب النموذج الرياضي SCS-CN



المصدر: من عمل الباحثة اعتماداً على النموذج الرياضي (SCS-CN).

(٣-١-٢) استخلاص قيمة (CN) : تراوح قيمة (CN) (Curve Number) بين (الصفر-١٠٠) وهي تعبر عن مدى القابلية المائية لمكونات الغطاء الأرضي في أحواض التصريف المائي للوديان ، أنَّ هذه الطريقة ترتكز على مجموعة من المعادلات الرياضية والتي بدورها تعتمد البيانات والمعلومات التي تتواجد عن الغطاء الارضي وانماط استخدامه ، وكمية الامطار وهيدرولوجية التربة ، كلما اقتربت فيها قيمة (CN) نحو (١٠٠) وتدل على أنَّ سطح التربة أكثر قابلية على حفظ الماء وهذا نفاذية منخفضة ، أما إذا كانت قيمة (CN) تقترب من (صفر) فيدل ذلك على أنَّ سطح التربة أقل قابلية في حفظ الماء فذلك تكون نفاذيته عالية ، وأنَّ عملية استخراج قيمة (CN) من خلال دمج المجموعات الهيدرولوجية مع طبقة غطاءات الأرض ومن خلال إجراء (code) ، لكل طبقة بحيث تختلف عن القيم التي توجد الطبقة الأخرى ، لكي لا يحصل هناك أخطاء من قبل البرنامج ويتم دمج الطبقات التي لها نفس القيم ، ومن ثم

دمج الطبقتين التي تم ذكرهم من خلال الاداة (Combine) في برنامج (ArcGIS10.4) ، وبالتالي تظهر قيم (CN) الاحواض منطقة الدراسة ، ولكن يتم الحصول على قيم ال(CN) فإن ذلك يتوقف على ثلاثة مجموعات الا وهي (الغطاء الارضي ، الرطوبة المسبقة للتربة ، هيدرولوجية التربة) وتنبع فيما يأتي :-

(١-٣-٢) **وصف الغطاء الارضي :** يهدف الى توضيح اصناف الغطاء الارضي المنتشرة ومن ضمن الاحواض منطقة الدراسة ، وتم اشتقاقها من المرئية الفضائية للقمر (LandSat8) وبدقة تميزية ٣٠ م للمنطقة قيد الدراسة ، وذلك من خلال التصنيف الموجة (Supervised Classification) الذي اخذ من المعلومات السابقة عن المجموعة الطيفية الطبيعية او عن التجمعات القائمة في المرئية ، وما توصلنا اليه من خلال الدراسة الميدانية لمنطقة الدراسة ، ومن ثم اخضاع بيانات القمر الاصطناعي لمراحل عديدة من المعالجات عبر برنامج (Arc Gis10. 3)، تصنیف وتحديد اصناف استعمالات الارض على النحو الاتي :-

(٢-٣-٢) **صنف المستقرات البشرية:** ويعد هذا الصنف والذي تضم المناطق ذات اللون الاحمر في خرائط استعمالات الارض ، وتشمل طرق النقل واستخدامات السكنية والمنشآت المدنية ، ونكون هذا المستقرات موزعة على طول شبكات الطرق في منطقة بصورة عامة ، ويشكل مساحة (٢٦,٧٧ كم^٢) من مساحة الاستخدامات الأخرى ، وبلغت نسبته المئوية (٢٦%) من اجمالي مساحة المنطقة ، ويمثل في الحوض (٣) و(٤) ، كما في موضح في الخريطة (١٥) الجدول (٢٦).

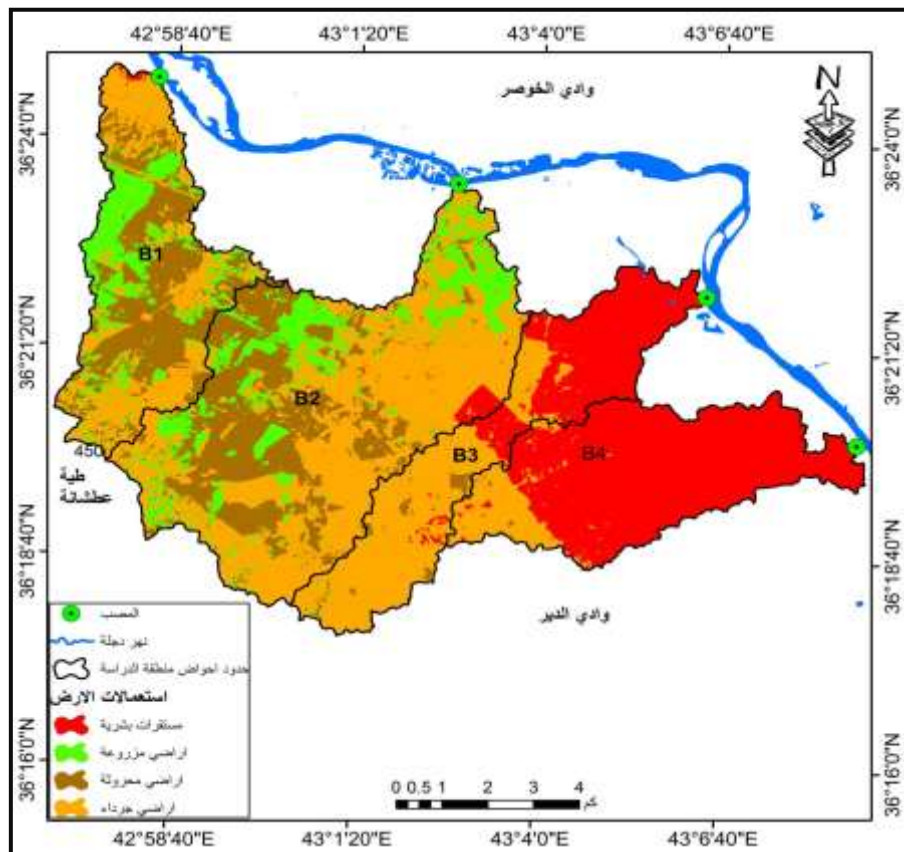
(٣-٣-٢) **صنف الارضي المزروعة:-** ويتمثل هذا الصنف اتي تستخدم في الإنتاج الزراعي بدرجة كبيرة والتي تشتمل في إنتاج الغذاء بالدرجة الاساسية وتستخدم المحاصيل (الحنطة والشعير) فضلاً عن المحاصيل الخضر والبساتين والأراضي الغير محروثة والمترюكة ، وقد تبين أنَّ مساحة هذا الصنف مساحةً قد بلغت (٣٧,٣١ كم^٢) من مساحة الاحواض المنطقية ، مما يشكل نسبة (١٢,٠١%) من مجموع مساحة الاحواض الكلية ، ويبيرز تأثير المحاصيل الزراعية هيدرولوجيا من خلال إعاقة سرعة الجريان المائي الذي يؤدي بدوره الى تغلغل المياه الى داخل أعمق التربة الأمر الذي يتربّ عليه قلة حجم الجريان المائي في مثل هذا الصنف آخذين بنظر الاعتبار أنَّ غالبية النباتات هي نباتات شتوية وتعتمد على الأمطار بالدرجة الأولى في نموها أي في فصل الشتاء وبداية الربيع ، ويتمثل في الحوض (١) و(٢).

(٤-٣-٢) **صنف الارضي المحروثة:** ويمثل هذا الصنف في المناطق التي تغطي الاراضي من الاعشاب الموسمية في اوقات من السنة ، والتي تضم غطاء النباتات حولية القصيرة ومنتشرة بصورة عامة ، لذلك يكون بمحاذة الوديان وفروعها وفي المناطق المنحدرة منها ، ويشغل مساحة قد بلغت (٩٨,١٩%) من مساحة احواض المنطقة ، وبلغت نسبة المئوية (٥٩,٢٠ كم^٢) من مجموع الاحواض الكلية ، وتمثل الارضي المحروثة اثر كبير في الجريان السطحي الذي ينمو ويتوقف ذلك على كثافة الغطاء النباتي ، ويكون في الحوض (١) و(٢).

(٥-٣-٢) **صنف الارضي الجراء:** ويضم هذا الصنف في المناطق الصخرية ومناطق المنحدرات العالية والمناطق انتشار البشري ، والتي تكون تربتها قليلة السمك أو ذات تربة حصوية رملية يكاد ينعدم فيها الغطاء النباتي ، هذا النوع من الأرضي يفتقر إلى كافة مقومات الحياة وهو يشغل مساحة (٤٣,٢٦ كم^٢) من مساحة منطقة الدراسة ، ونسبة المئوية قد بلغت (٤٢,٠١%) ومن الناحية الهيدرولوجية

، فأنّه ينعكس ايجاباً على حجم الجريان المائي من خلال عدم إعاقة سرعة الجريان ماعدا الترب ذات التكوين الرملي أو الحصوي ، ويمثل في الحوض (١) و(٢) و(٣).

خريطة (٢) استعمالات الأرض في احواض منطقة الدراسة



المصدر: من عمل الباحثة بالاعتماد على المرئية الفضائية (LandSat8) وبدقة تمييزية (٣٠) متر ، وبرنامج (Arc Gis10. 3).

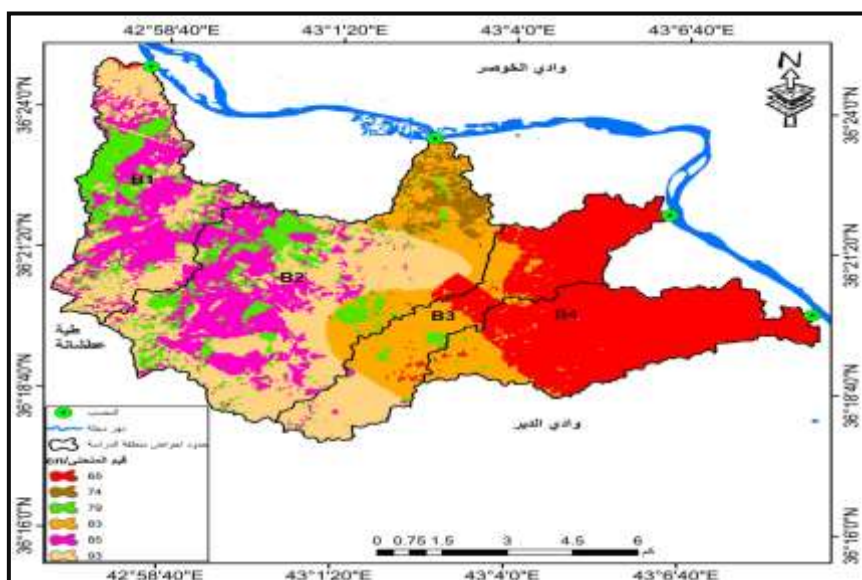
جدول (١) يبين استعمالات الأرض والغطاء الارضي في احواض منطقة الدراسة

النسبة المئوية %	المساحة كم²	استخدامات الأرض	ت
٢٦	٢٦.٧٧	اراضي مستقرات بشرية	.١
١٢.٠١	١٢.٣٧	اراضي مزروعة	.٢
١٩.٨	٢٠.٥٩	اراضي محروثة	.٣
٤٢.٠١	٤٣.٢٦	اراضي جرداء	.٤
١٠٠	١٠٢.٩٩	المجموع	

المصدر: من عمل الباحثة بالاعتماد على خريطة (٢).

٤-١-٢) تحديد الرطوبة المسبقة للترابة (AMC): إنّ الحالة المسبقة لرطوبة التربة (AMC) لها دور من خلال حجم الجريان السطحي وهي مؤشر المحتوى الرطوبة للتربة قبل تساقط الامطار في منطقة الدراسة ، قامت طريقة (SCS) نتيجة لهذا الدور من بتطویر العمل من خلال هذا الجانب لتقدير قيمة (CN) تم استخدام ثلاثة مستويات للرطوبة المسبقة وهي :- المستوى الأول (AMC 1) وهو يمثل الحد الفاصل للترب الجافة ، والمستوى الثاني (AMC11) ويشمل الحالة الاعتيادية للتربة ، والمستوى الثالث (AMC111) ويشترط فيه سقوط امطار خفيفة الى غزيرة مع انخفاض في درجات الحرارة وذلك من خلال الخمسة ايام السابقة لحساب الجريان السطحي وبذلك تكون التربة مشبعة بالماء ، وكل مستوى من المستويات الرطوبة المسبقة للتربة قيم(CN) خاص بها ، وفي الدراسة الحالية يكون قد خلد المستوى الثاني لرطوبة التربة والمتمثلة بالحالة الاعتيادية (AMC 11) لا احتساب الخصائص الجريانية للوديان منطقة الدراسة ، وبعد استكمال المتغيرات الثلاثة تم الحصول على قيم (CN) وذلك من خلال عملية تقاطع (Enter section) بين طبقتي غطاءات الارض والمجموعة الهيدرولوجية للتربة على ان عدم الحالة النفسية لرطوبة التربة هي الحالة المعتدلة (AMC11) وبعد مقاطعة القيم لكلا المتغيرين وبذلك يمكن الحصول على قيم (CN) ، كما موضح في الخريطة (٣) والجدول (٢)، ومن خلال ملاحظة الجدول تم الحصول على النتائج وهي القيمة المعبرة ل(CN) في وديان منطقة الدراسة ، وبالبالغ عددها (٦) القيم وتراوحت ما بين القيمة (٦٥) للمناطق الاكثر نفاذية للمياه ، وأوسع قدرة على الانتاج الجريان السطحي بلغت (٩٣) للمناطق الاقل نفاذية للمياه ، وذات قدرة كبيرة في انتاج الجريان السطحي ، وهذا بدوره تأثيراً كبيراً من الناحية الهيدرولوجية من حيث القدرة على توليد الجريان السطحي ، ان هناك امكانية كبيرة في حصاد المياه للوديان بشكل جيد وحصولها على كميات كبيرة من المياه ، وان جميع القيم التي حصلنا عليها هي اعلى من قيمة الوسط البالغة (٥٠) ، وان اكثراً مساحة تشغله قيم (CN) هي القيمة (٩٣) اذ بلغت المساحة (٢٧,٩٦ كم^٢) وقد بلغت النسبة (٢٧,٣٣٪) من مساحة الوديان الاجمالية ، وتأتي بالمرتبة الثانية القيمة (٧٤) وبلغت المساحة (٢,٦٧ كم^٢) وقد بلغت النسبة (٢,٦١٪) من اجمالي مساحة المنطقة ، اما باقي القيم قد شغلت اجزاء في وديان منطقة الدراسة .

خربيطة (٣) توزيع (CN) في احواض منطقة الدراسة



المصدر: من عمل الباحثة بالاعتماد على برنامج (Arc GIS 10.3).

جدول (٢) توزيع قيم (CN) المستخلصة في منطقة الدراسة

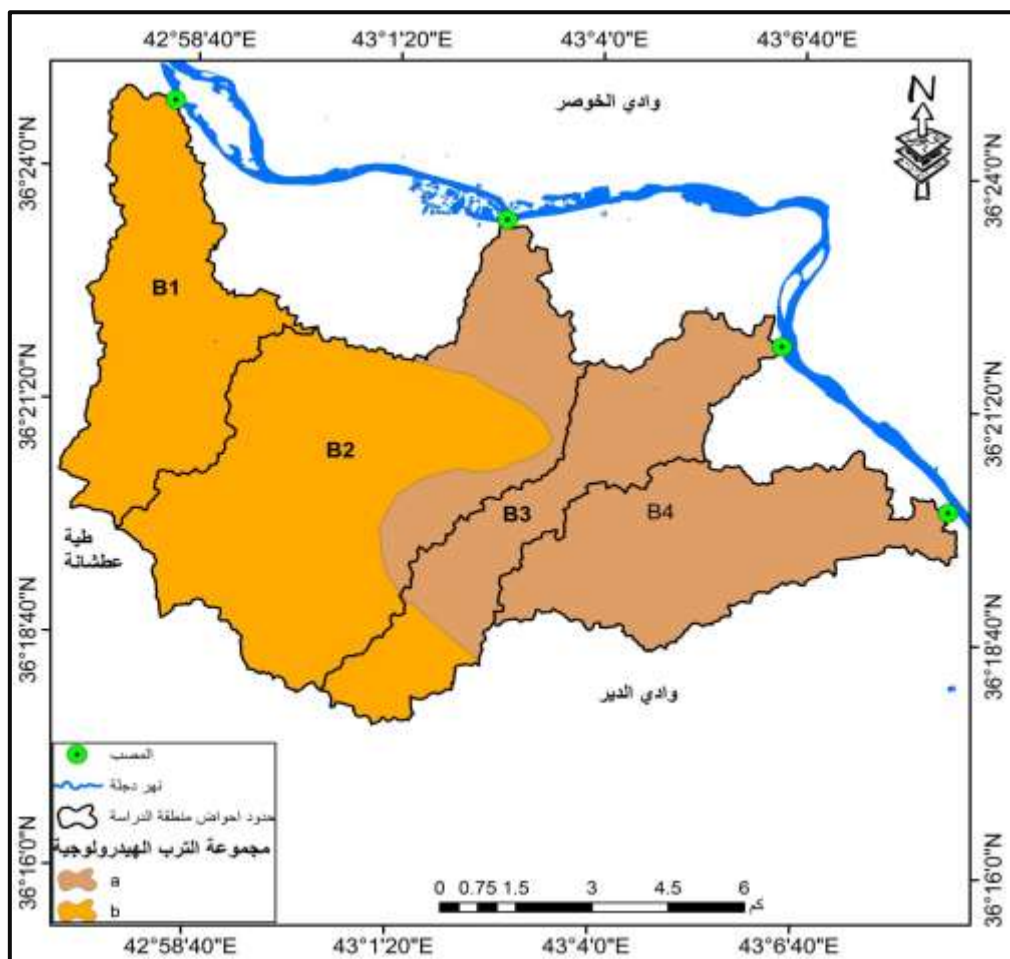
النسبة المئوية %	المساحة كم²	قيم منحى (CN)	ت
٢٥,٩٧	٢٦,٥٦	٦٥	.١
٢,٦١	٢,٦٧	٧٤	.٢
١٠,٤٧	١٠,٧١	٧٩	.٣
١٥,٠٢	١٥,٣٦	٨٣	.٤
١٨,٦	١٩,٠٣	٨٥	.٥
٢٧,٣٣	٢٧,٩٦	٩٣	.٦
١٠٠	١٠٢.٢٩	٧٩.٨	المعدل

المصدر: انجاز الباحثة طبقاً للخريطة (٣).

(٥-١-٢) تهيئة المجموعات الهيدرولوجية للتربة منطقة الدراسة

تمثل خصائص التربة الهيدرولوجية ذات تأثير على حجم الجريان السطحي الذي يعد نتيجة التساقط المطري ، لذلك يجب أن تأخذ بنظر الاعتبار نوع التربة تلك الخصائص عند تقدير حجم الجريان السطحي ، حيث صنفت ادارة صيانة التربة (SCS) هيدرولوجية الترب إلى اربع مجاميع هيدرولوجية وفقاً لمعدل سرعة انتقال الماء خلالها وهذه المجاميع الأربع تكشف مدى دور نسيج التربة في نشوء الجريان السطحي ، والمجموعات هي (A-B-C-D) حيث أنَّ لكل نوع مواصفات خاصة به تختلف عن النوع الآخر من حيث نشوء الجريان السطحي وحركة المياه السطحية وأنَّ الصنفين (A , D) يمثلان حدين فاصلين ومتطرفين من حيث نشوء الجريان السطحي ، اما(B-C) فهما يمثلان حالة متوسطة لنشوء الجريان السطحي ، ومن تم العمل على تحديد المجموعات الهيدرولوجية للتربة في الأحواض شمال قضاء الموصل وذلك اعتماداً على معطيات خارطة التربة و المعدة من قبل التصنيف (USDA) الأمريكية ، وكذلك بالاعتماد على خريطة منظمة الفاو (O.A.F) للأغذية لعام (٢٠٠٦)م ، وتعرف سجه التربة اذ تم من خلالها من انشاء طبقات الخريطة لمنطقة الدراسة ، وقد تبين ان الفئات الهيدرولوجية للتربة في منطقة الدراسة من نوعين من الترب وهي المجموعات الهيدرولوجية (A) و(D) كما موضح في خريطة (٤) والجدول (٣) .

خريطة (٤) مجموعة الترب الهيدرولوجية في منطقة الدراسة



المصدر: - من عمل الباحثة اعتماداً على برنامج Arc GIS 10.3 (Arc GIS 10.3) وتصنيف التربية (USDA).

جدول (٣) مجموعة الترب الهيدرولوجية في احواض منطقة الدراسة

نسبة المئوية %	المساحة كم ^٢	مجموعة الترب الهيدرولوجية	ت
٤٥,٦٣	٤٥,٠٦	A	.١
٥٤,٣٧	٥٧,٩٥	B	.٢
١٠٠	١٠٣,٠٤	المجموع	

المصدر: من عمل الباحثة اعتماداً على الخريطة (٤).

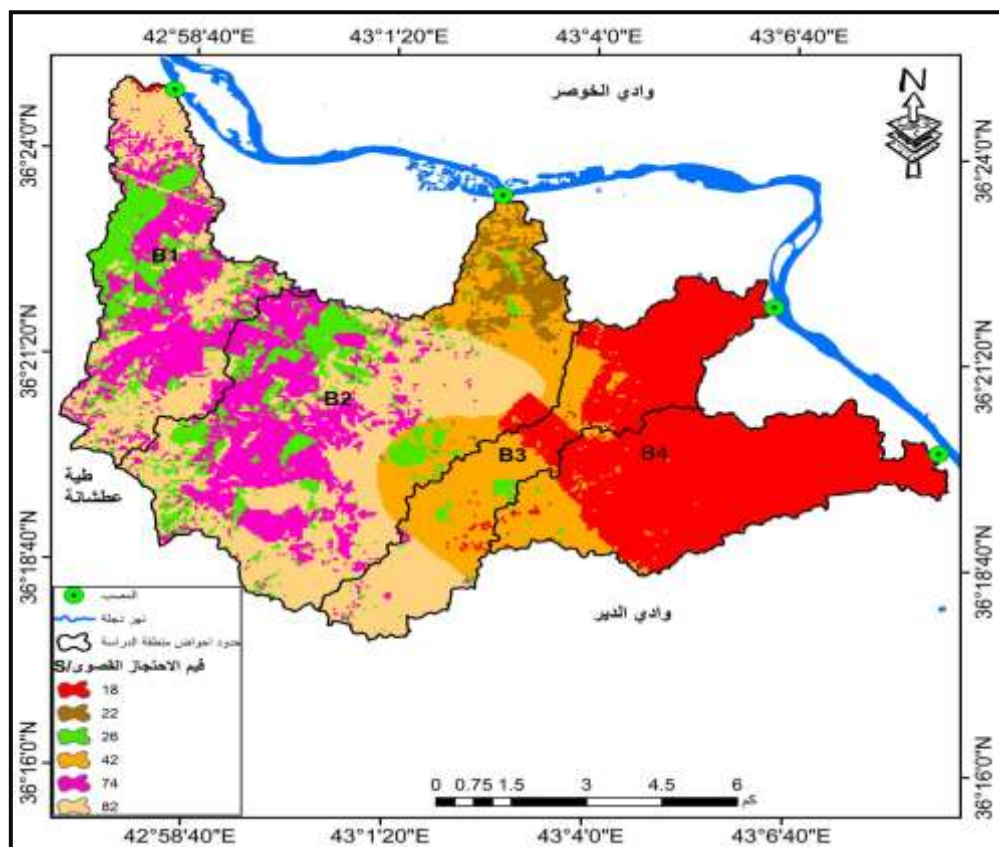
جدول(٤) انواع الترب الهيدرولوجية التربة حسب تصنيف (SCS-CN).

الصنف	العمق	صفات التربة
A	قليل	طبقة رملية عميقه مع كمية قليلة جداً من الطين والغرين رمليه-رمليه مزيجيه او مزيجيه رملية
B	متوسط	مع معدل ارتياح متوسط A طبقة رملية أقل عمق من صنف بعد ترطيب التربة مزيجية غرينية او مزيجية
C	فوق المتوسط	طبقة طينية محددة العمق مع معدل ارتياح دون الوسط قبل وصول التربة إلى حالة التشبع مزيجية طينية رملية
D	عالي	طبقة طينية ذات نسبة انتفاخ عالية مع وجود طبقة ضحلة من التربة الناعمة الغرينية القريبة من السطح مزيجية طينية - مزيجية طينية غرينية - طينية رملية - طينية غرينية - طينية

Source: Shanmukha Srinivas Gorantla, Y.Yawanth Kumar, Surface Runoff Estimation using RS and GIS-A Case Study of Swarnamukhi River, India, International Journal of Science and Research, Vol (9), Issue(5), 2020, P 781.

(٦-١-٢) المعامل الامكانية القصوى للاحتفاظ بالماء بعد الجريان السطحي (S) :- تعبّر قيمة المعامل (S) عن قابلية التربة للاحتفاظ بالماء بعد بدء عملية الجريان السطحي ، أنه يصف حالة التربة المشبعة بالماء ايضاً بعد عملية الجريان اي بعد عملية تسرب المياه الى باطن الارض، وان سمك طبقة التي تكون مشبعة بالماء يختلف باختلاف نوع التربة وعلى مدى امتصاصها للمياه اثناء التساقط المطري ، حيث تعكس القيمة المرتفعة للمعامل (S) ان ارتفاع امكانية التربة في احتفاظها بالماء من ثم انخفاض كمية الجريان السطحي ، بينما تعكس القيم المنخفضة التي تكون قريبة من الصفر انخفاض قدرة التربة على احتفاظ بالماء من سطح المجرى بعد عملية الجريان السطحي مما يزيد من كمية المياه الجارية ، ويتم حساب قيمة (S) وفق معادلة (٥) التي سبق ذكرها وذلك من خلال عملية جبر الخرائط (Map algebra) عن طريق الحاسبة الخلوية في أدوات التحليل المكانى في برنامج (Arc Gis10.4) حيث تتم هذه العملية بإدخال صيغة كل معادلات رياضية ، لذا تتراوح ما بين (١٨) ملم للأجزاء الاقل القدرة على الاحتفاظ بالماء سطحها ، وبين (٨٢) ملم للأجزاء الاكثر القدرة للاحتفاظ بالماء والتي لا تساعد اتمامها في عملية الجريان السطحي ، ان ملاحظة الخريطة (٤) والجدول (٥) قد تبين ان القيم المعتبرة عن معامل (S) في الوديان منطقة الدراسة ، اذ بلغت (٦) قيم وقد تراوحت قيمها بين (٨٢-١٨) ملم ، وأنَّ هذه القيم تتجه نحو الصفر وهي اقل من معدل الوسيط البالغة (٢٥٤) ملم ، ومن الناحية الهيدرولوجية فإنه يدل على أنَّ سطح التربة في منطقة الدراسة يعد قليل الاحتفاظ بالماء ويسبب ارتفاعاً في كميات الجريان السطحي المائي ، ونجد أنَّ أكثر قيم (S) توزيعاً من حيث مساحة والنسبة المئوية في احواض الدراسة هي قيمة (٨٢) إذ تمثل مساحة (٢٧,٩٦ كم٢) ونسبة (٣٣٪) ، بينما نجد ادنى قيمة معامل (S) هي القيمة (٢٢) ، وشغلت مساحة (٢,٦٧ كم٢) وبنسبة (٦١٪) ، فقد تباينت مساحة باقي القيم التي تشغله المنطقة ، كما موضح في خريطة (٥) وجدول (٦).

خرطة (٥) توزيع قيم (S) في احواض منطقة الدراسة



المصدر: من عمل الباحثة اعتماد على برنامج (Arc Gis 10.3).

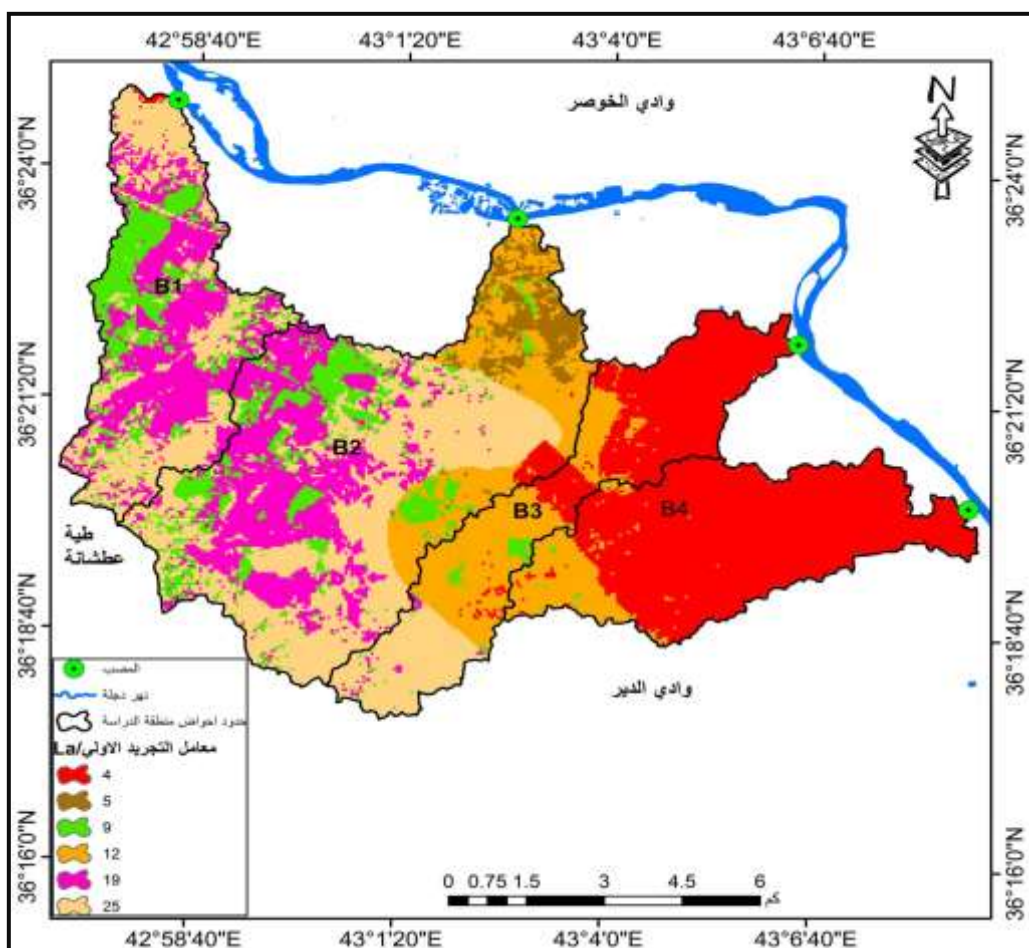
جدول (٥) توزيع قيم (S) في احواض منطقة الدراسة

نسبة المئوية %	المساحة كم ٢	قيم (S) ملم	ت
٢٥.٩٧	٢٦.٥٦	١٨	.١
٢.٦١	٢.٦٧	٢٢	.٢
١٠.٤٧	١٠.٧١	٢٦	.٣
١٥.٠٢	١٥.٣٦	٤٢	.٤
١٨.٦	١٩.٠٣	٧٤	.٥
٢٧.٣٣	٢٧.٩٦	٨٢	.٦
١٠٠	١٠٣.٩٩	المجموع	

المصدر:- من عمل الباحثة بالاعتماد على خريطة (٥).

٧-١-٢) حساب معامل الاستخلاص الأولي :- يدل على ان المعامل (Ia) لتحديد الكمية المفقودة من المياه قبل بدء بعملية الجريان السطحي عن طريق التبخر او عن طريق نتيجة اعتراض النباتات للمياه الجارية او المنخفضات السطحية وكذلك عن طريق التسرب الباطني للمياه ، وهو الذي يرتبط بدرجة كبيرة بنوعية التربة والغطاء الأرضي ، ويمثل خمس القيمة الامكانية القصوى لاحتفاظ بالماء في التربة بعد بداية الجريان السطحي للمعامل (S)، وكذلك كلما اقتربت قيمته من الصفر فأن ذلك يدل على قلة نسبة الفقد المطري قبل أن تبدأ عملية الجريان مما يزيد من سرعة توليد الجريان السطحي ، أما إذا بلغت قيمته من (٥٠,٨) ملم وهو الوسيط للمعامل (Ia) فيصبح معدل الاستخلاص الأولي مساويا لمعدل المياه السطحية الجارية ، أما اذا ارتفعت قيمة معامل(Ia) عن قيمة الوسيط حيث يدل على فقدان كميات كبيرة من الامطار ومنها يدل على انخفاض كميات المياه الجارية السطحية ، كما موضح في خريطة (٦) وجدول (٧) .

خريطة (٦) توزيع قيم (Ia) في احواض منطقة الدراسة



المصدر: من عمل الباحثة بالاعتماد على برنامج Arc GIs 10.3.

جدول (٦) توزيع قيم (Ia) في احواض منطقة الدراسة.

نسبة المئوية %	المساحة كم ^٢	قيم (Ia) ملم	ت
٢٥.٩٧	٢٦.٥٦	.٤	.١
٢.٦١	٢.٦٧	.٥	.٢
١٠.٤٧	١٠.٧١	.٩	.٣
١٥.٠٢	١٥.٣٦	.١٢	.٤
١٨.٦	١٩.٠٣	.١٩	.٥
٢٧.٣٣	٢٧.٩٦	.٢٥	.٦
١٠٠	١٠٢.٩٩	المجموع	

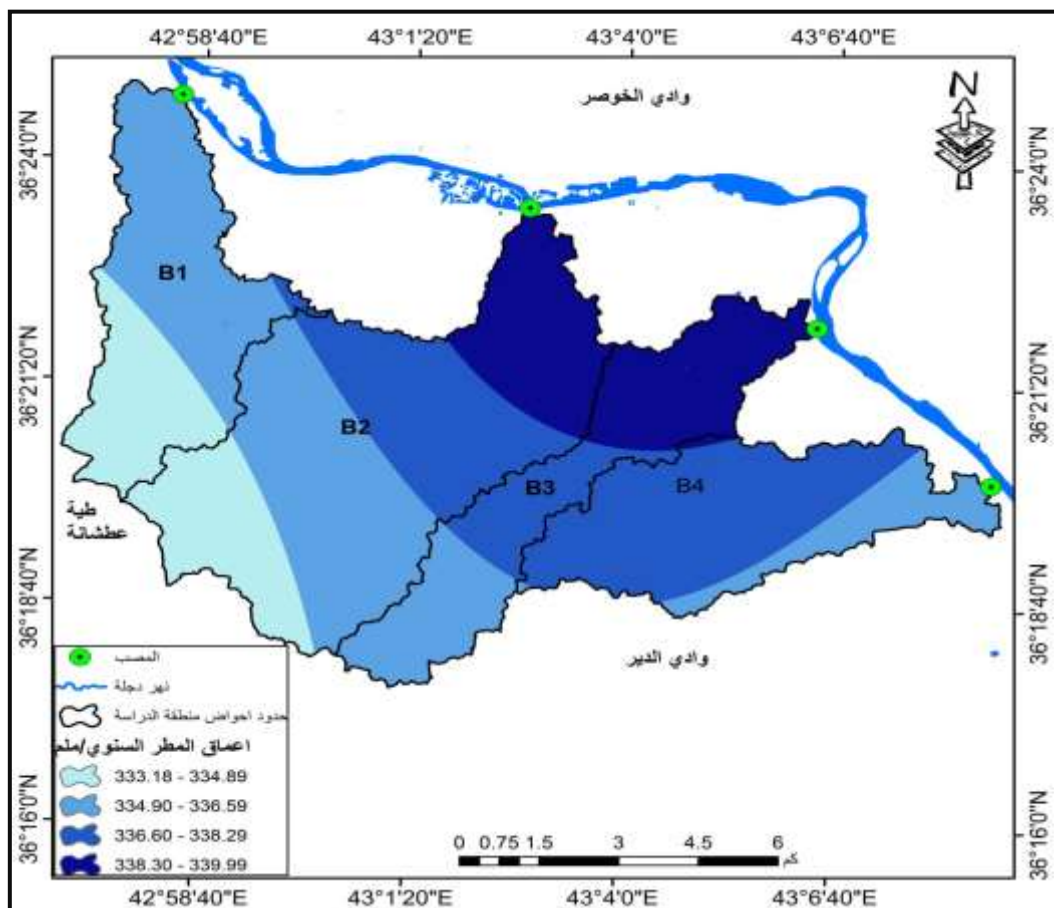
المصدر: من عمل الباحثة اعتماداً على خريطة (٦).

أما من خلال استخدام المعادلة (٢) والتي أشرنا إليها في مسبق ذلك والخاصة بهذا المعامل عن طريق برنامج (Arc Gis10.3) ومن خلال (Raster Calculator) ضمن أدوات التحليل المكاني (Spatial analyst) وتم احتساب المعادلة لتنتج لنا الخريطة (Raster)، ومن خلال الخريطة (٦) والجدول (٥) ويكون الخاص بقيم (Ia) وقد بلغت القيمة عددها (٦) قيم ، والتي تراوحت ما بين القيمة (٤) ملم للمناطق الأقل فقدا لمياه الأمطار قبل بدء بعملية الجريان السطحي وقد شكلت مساحتها (٤٢,٥٦ كم^٢) وبنسبة بلغت (٢٥,٩٧%) ، وبين القيمة (٢٥) ملم للمناطق الأكثر فقدا لمياه الأمطار وذلك قبل بدء بعملية الجريان السطحي المائي ، لذ بلغت مساحتها (٦٢٧,٩٦ كم^٢) وبنسبة بلغت (٢٧,٣٣%) ، وأن جميع قيم المعامل(Ia) هي أقل من قيمة الوسيط لبالغة (٥٠,٨) ملم ، وهذا يلعب دوراً كبيراً من الناحية الهيدرولوجية في احواض الدراسة.

(٨-٢) طبقات اعمق تساوي المطر في منطقة الدراسة :- تعد الامطار المصدر الرئيسي للجريان السطحي ، وتأثير كمية المياه الجارية على تساقط الامطار بغزاره ، فعند زيادة الامطار الساقطة يزيد من الجريان السطحي ، ويحدث العكس عند انخفاض كمية الامطار بحيث ينخفض مقدار المياه الجارية، تعتبر الامطار الساقطة المصدر الرئيسي للمياه الجارية وتتوقف كميتها وكثافتها على مدى غزارة الامطار وفاتها ، وبالتالي كلما زادت كمية الامطار الساقطة كلما زاد حجم الجريان المائي والعكس صحيح ، وذلك يحدث عندما تقل كمية الامطار الساقطة ويعبر عن الامطار الساقطة بالمعيار(P) الذي يعتبر أحد العناصر الاساسية في المعادلة التي تستخدم لتقدير عمق الجريان السطحي ويرمز له(Q)، وبما أنَّ منطقة الدراسة تفتقر للمحطات المناخية تمت الاستعانة ببيانات الامطار في محطة موصل باعتبارها محطة مجاورة لمنطقة الدراسة ، حيث تمت تغطية احواض منطقة الدراسة بخطوط تساوي المطر(ملم) ، وتم استخدام طريقة الاستكمال IDW (Inverse Distance Weight) والتي تعد من أحد الطرق التقليدية لقمة المطر في المناطق غير المقاسة وتمت الاستعانة في استخدام التحليل الاحصائي المكاني (Geostatistical analyst) ضمن البيئة المتكاملة لبرنامج Arc GIs (Arc GIs) للتوصل إلى أعماق تساوي

المطر في منطقة الدراسة ، ومن خلال ذلك تم الحصول على خريطة لخطوط تساوي المطر والتي تراوحت بين (١٨ - ٣٣٩,٩٩) ملم ، وبمعدل (٣٤٠) ملم كما موضح في خريطة (٧) وجدول (٨) ، وأنَّ هذه القيم تتعكس هيdroلوجيا بصورة كبيرة وایجابية إذ تدل هذه القيمة بأنَّ احواض الدراسة تستقبل سنوياً كميات كبيرة من الأمطار الساقطة ، مما يزيد من امكانية إلأ احوض على توليد الجريان السطحي المائي متزامناً مع انخفاض درجات الحرارة والرياح والتباخر في فصل الشتاء وهذا يزيد من حجم الجريان السطحي المائي ، بسبب قلة الفاقد الجريان السطحي الأمر الذي يشجع على استثماره وتطويره في منطقة الدراسة .

خريطة (٧) اعمق تساوي المطر في احواض منطقة الدراسة



المصدر: من عمل الباحثة بالاعتماد على برنامج (Arc Gis 10.3).

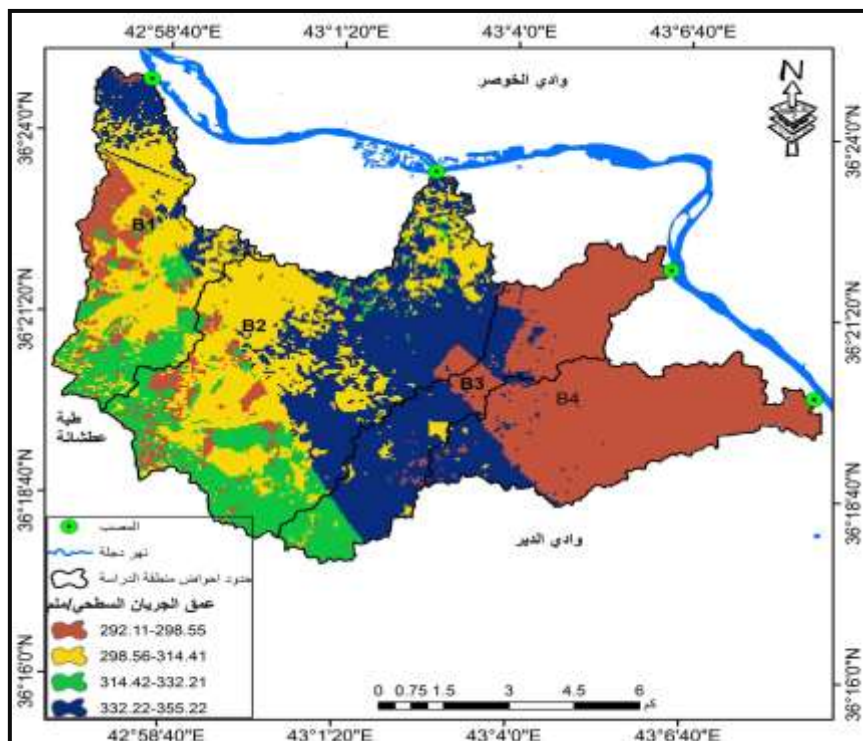
جدول (٧) اعمق تساوي المطر في احواض منطقة الدراسة

معدل عمق تساوي المطر	اعلي عميق تساوي المطر	ادنى عميق تساوي المطر	ت
٣٤٠	٣٣٩,٩٩	٣٣٣,١٨	.١

المصدر: من عمل الباحثة بالاعتماد على خريطة (٧).

(٩-٦-١) تقدير حجم الجريان السطحي السنوي (Q) ملم : إنَّ أعمق الجريان السطحي تحدد بفترة زمنية تكون بدايتها مع تساقط الأمطار على سطح الأرض وتنتهي عندما تصب المياه في المجرى المائي، وقد تم احتساب عمق الجريان السطحي (Q) ملم في الدراسة الحالية لحوض منطقة الدراسة وذلك بالاعتماد على المعطيات الطبيعية لحوض منها نوعية الترب الهيدرولوجية ونوع الغطاء الارضي والتي تم التعبير عنها في قيم كل من (la-s-cn) ومن خلال حساب المعدل السنوي للأمطار الساقطة في حوض منطقة الدراسة ، نجد أنَّ عمق الجريان السطحي يعبر عن كمية ما يجري على سطح الأرض من المياه الساقطة خلال العاصفة المطرية بعيداً عن مساحة الحوض التجميعية ، يعد عمق الجريان السطحي (Runoff Depth) عن خلاصة مطر معينة مع مكونات خصائص حوض التصريف فيها ، ولذا يختلف عمق الجريان باختلاف نوع الغطاء الأرضي وباختلاف نفاذه وفي حال ثبات الموجة المطوري على كل أجزاء الحوض فإنَّ الأرقام المنحنية هي المتحكم في تباين أعمق الجريان السطحي في أجزاء الحوض ، إنَّ الأمر الذي جعل عامل عمق يختلف عن عامل حجم الجريان (QV) ، ومن خلال ما موضح في الخريطة (٨) والجدول (٩) ، نجد أنَّ أعمق الجريان السطحي السنوي في أحواض الوديان تتراوح ما بين القيم (١١-٣٥٥.٢٢-٢٩٢.١١) ملم وهي متفاوتة بين الأحواض ، وقد بلغ معدل أعمق الجريان السطحي في الأحواض الدراسية (٣٣٦) ملم ، ويدل هذا على أنَّ غالبية الأمطار الساقطة تتحول إلى جريان سطحي في الأحواض ، ويكون من الناحية الهيدرولوجية ، إذ يدل على أنَّ الأحواض الوديان ذو قابلية كبيرة وامكانية عالية على توليد جريان السطحي مائي على سطح الأرض ، وذلك بسبب العاصف المطرية الساقطة ويتوفر في الأحواض الدراسية من مساحات تجميعية كبيرة التي تعمل على زيادة حجم الجريان السطحي المائي.

خريطة (٨) أعمق الجريان السطحي السنوي (ملم) في أحواض منطقة الدراسة



المصدر: من عمل الباحثة بالاعتماد على برنامج (Arc GIs 10.3).

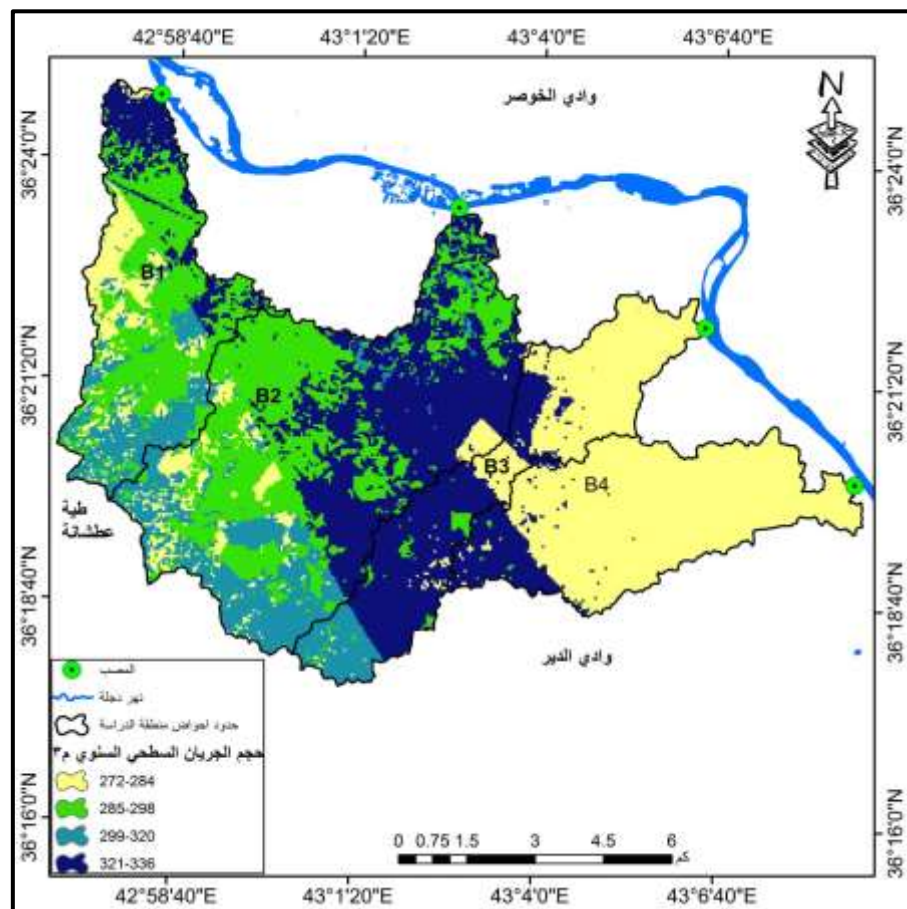
جدول (٨) اعمق الجريان السنوي في احواض الدراسة

نسبة المئوية %	المساحة كم ^٢	اعمق الجريان السنوي ملم	ت
٣١.٧٠	٣٢.٥٥	٢٩٨.٥٥-٢٩٢.١١	.١
٢٥.٦٨	٢٦.٣٨	٣١٤.٤١-٢٩٨.٥٦	.٢
١٣.٥٢	١٣.٨٩	٣٣٢.٢١-٣١٤.٤٢	.٣
٢٩.١	٢٩.٨٩	٣٥٥.٢٢-٣٣٢.٢٢	.٤
١٠٠	١٠٢.٧	المجموع	

المصدر: من عمل الباحثة بالاعتماد على خريطة (٧)

(٩-٦-١) **تقدير حجم الجريان السطحي السنوي (QV) ملم :** يعبر حجم الجريان السطحي السنوي (QV) عن مجموع الجريان إلى مساحة الحوض وهو من أهم الحسابات في حجم الجريان السطحي التي تدخل في الكثير من الدراسات الهيدرولوجية، وتعتمد تقدير حجم الجريان السطحي السنوي (Runoff) في منطقة ، حيث تم اعتماد على عمق الجريان السطحي (Q) والتي تم الحصول عليها ، تم احتساب الجريان السطحي السنوي (QV) وفق المعادلة (٤)، واستخدام التقنيات الحديثة وبرنامج (Arc GIS 10.3) واستخراج قيمة (Q) لكل بكسيل (pixel) وذلك وجود المساحة الخاصة لكل بكسيل والتي قدرها (30×30) متر ، والتي اعطى مساحة ثابتة لكل البكسلات والتي قدرها (900) م^٢ ، وبعد تطبيق معادلة حجم الجريان السنوي (QV) اذ بلغ اعلى حجم الجريان السنوي يقع ضمن الفئة ($321-336$) م^٣ ، وصل حجم الجريان الى (4834472) م^٣، وتحتل هذا الفئة النسبة المئوية (٢٩,١%) من مساحة منطقة الدراسة، بينما بلغت اقل الكميات الجريان السنوي ضمن الفئة ($272-284$) م^٣، وتعتبر الفئة الاولى ، وبلغ حجم الجريان فيها (3637477) م^٣ ، وبنسبة (٣١,٦٩%) ، كما هو موضح في الخريطة (٩) الجدول(٩) ، وتبينت الدراسة ان استنتاج احواض الوديان تولد جريانا سطحيا سنويا وذلك بكميات كبيرة ويمكن الافادة منها بجوانب تنمية وتهضي بالواقع الاقتصادي وذلك نلاحظ النتائج حسب الخصائص الهيدرولوجية ويعزز ذلك بوجود كميات من المياه الجريان السطحي فترة سقوط الامطار ، وان هذا الامر مهم وله دور من الناحية الهيدرولوجية للوديان منطقة الدراسة ، وتأكد نتائج ان الوديان لها مورد مائي لحصاد المياه واستثماره في مختلف اغراض المنطقة وذلك من خلال تطبيق الطرق والتي تتلاءم مع منطقة الدراسة.

خرطة (٩) حجم الجريان السطحي السنوي (م^٣) في احواض منطقة الدراسة



المصدر: من عمل الباحثة بالاعتماد على برنامج (Arc Gis10.3).

جدول (٩) حجم الجريان السطحي السنوي في احواض منطقة الدراسة

الفئات	الحجم / م³	المساحة كم²	النسبة المئوية %
٢٨٤-٢٧٢	٣٦٣٧٤٧٧	٣٢,٥٥	٣١,٧٠
٢٩٨-٢٨٥	٣٨٨٧٩٨٧	٢٦,٣٨	٢٥,٦٨
٣٢٠-٢٩٩	٤٤٩٩١٩٦	١٣,٨٨	١٣,٥٢
٣٣٦-٣٢١	٤٨٣٤٤٧٢	٢٩,٨٩	٢٩,١
المجموع	١٦٨٥٩١٣٢	١٠٢,٧	١٠٠

المصدر: من عمل الباحثة بالاعتماد على خريطة (٩).

الاستنتاجات

١. بينت الدراسة أن هناك أربعة أنواع للغطاء الأرضي في الحوض تتمثل في أربعة أنواع من الغطاء الأرضي هي: أرض جرداً ومحاصيل مزروعة ومباني وطرق، أظهرت الدراسة أيضاً أن المنطقة تحوي مجموعتين للترابة الهيدرولوجية (B-A) وفقاً لتصنيف منظمة الأغذية والزراعة (٢٠٠٦)، والتي تنصف بالجريان السطحي العالي وسعة امتصاص المياه المنخفضة ومعدل الترسيب المنخفض للغاية خاصة حين تكون التربة رطبة، كما تم تحديد حالة رطوبة التربة مسبقاً في الحوض بالحالة المعتادة للمناطق الشبه جافة الموجودة في منطقة الدراسة.
٢. أن قيم المعامل (CN) أظهرت زيادة في معظم مناطق هذا الحوض، فقد تراوحت بين ٦٥-٩٢ حيث تراوحت بين (٩٢-٦٥) مما يشير إلى احتمالية توليد جريان سطحي في الحوض أما بالنسبة لقيم المعامل S الموجودة في حوض حوض وادي الدير فأغلبها تقع داخل القيم المنخفضة غرب نقطة الصفر، حيث أنها تراوحت بين (٨٣-١٨) ملم مما يدل على أن سطح التربة لا يتمتع باحتفاظ التربة بكميات قليلة من المياه، الأمر الذي يدل على سرعة استجابتها للجريان السطحي بالمنطقة خلال هطول الأمطار، في حين وصلت قيم معامل الاستخلاص الأولي LA الذي يوضح مقدار مياه الأمطار الضائعة قبل بدء عمليات الجريان السطحي بالحوض ما بين (٦) قيم تقاوالت ما بين (٢٥ ملم) بالنسبة للمناطق التي فقدت أكبر كمية من مياه الأمطار، وما بين (٤ ملم) للمناطق التي خسرت كميات قليلة من مياه الأمطار، مما يشير إلى إمكانية توليد جريان سطحي بالحوض.
٣. تراوح عمق الجريان السطحي السنوي (س) بين (٣٥٥-٢٩٢) ملم، وبلغت قيم حجم الجريان السطحي السنوي الكلي لحوض وادي الموصل (١٠٩٩٨٨٦٢) متر مكعب مائي في السنة، مما يشير إلى إمكانية توليد الجريان السطحي في الحوض والانتفاع به في العديد من الجوانب التي تُسهم في النهوض بالواقع البيئي في المنطقة وخاصة الجانب الزراعي. ٣- بينت الدراسة أن كمية زمن التركيز بلغت (٢٠.١) ساعة أي ما يعادل (٤١.٣) دقيقة و(٦٠.٨) ثانية، وهو ما يشير إلى الفترة الطويلة التي تصل فيها مياه الأمطار إلى مصب النهر، فيما بلغ زمن الذروة بحوض الدراسة (٢٢٠.٠) ساعة، فيما بلغت قيمة ذروة الجريان السطحي في الحوض (٧٢.٦٩) م/ث. كما ساعدت تقنيات نظام المعلومات الجغرافية وتقنيات الاستشعار عن بعد على التعرف على مدى إمكانية حصاد المياه، من خلال تحديد الموضع الأفضل المناسبة لإنشاء الخزان.
٤. تم اختيار الموقع الثاني كخزان مقترن (٤٠.٧١٩م)، يمكن من خلاله تطوير الجوانب التنموية داخل حوض وادي الموصل، والمتمثلة في إمكانية الإنتاج الزراعي واستغلال مستويات التخزين الموجودة في الخزان بإيجاد عمليات ري تكميلية منها أسلوب الري بالرش، وكذلك سقایة الحيوانات مع إمكانية إقامة مستوطنات بشرية.

الوصيات

١. من الضرورة إقامة محطة هيدرولوجية بمنطقة حوض الدراسة، خاصة أن كمية التصريف المائي ضخمة جداً، وذلك للتعرف على الكمية الحقيقية لهذا التصريف والاستفادة منها لتطوير المنطقة.

٢. التأكيد على ضرورة إقامة محطة مناخية بمنطقة الدراسة، للحصول على المعطيات المناخية الخاصة بالأمطار لأهميتها الهيدرولوجية بالنسبة لحساب المياه.
٣. توصي الدراسة بالاستفادة من كمية المياه المنصرفة من وادي الدير باقتراح إقامة خزان مائي في موقع مناسب للزراعة وبغرض إحياء أكبر قدر مستطاع من الرقعة الزراعية للوصول إلى تطوير الأنشطة البشرية في المنطقة.
٤. تحقيق أكبر قدر ممكن من الفائدة من الدراسة الحالية، من خلال الاستعانة بالمتخصصين من المهتمين كمهندسي الري والجيولوجيين والجغرافيين بإدارة الموارد المائية، ودراسة إمكانيات الحصاد المائي في المنطقة في ظل نقص مشاريع الري، وذلك بهدف تطوير مقومات الزراعة.
٥. توصي الدراسة بالاعتماد على التقنيات الجغرافية الحديثة بما فيها نظم المعلومات الجغرافية والاستشعار الثاني في دراسات التحليل الهيدرولوجي للأحواض المائية وخصائصها المورفومترية وتوفّر الوقت والتكلفة والجهد، والحصول على نتائج في غاية الدقة.
٦. توصي الدراسة بالاستفادة من التقنيات الحديثة الجغرافية في تحليل الأحواض المائية والخصائص المورفولوجية لها.

References

- [1] U. S. Department of Agriculture, (2)Soil Conservation Service (USDA SCS) National Engineering Handbook, Section4, Washington, 1997, p6.
- [2] Haifa Muhammad Al- Nafi'i, Estimating surface runoff and the risk of Al- Sailiya in the upper basin of Wadi Araba, east of Mecca, using remote sensing and geographic information systems, Master's thesis, Umm Al- Qura University, College of Social Sciences 2010 AD, p. 103.
- [3] Jamil Abd Hamza Al- Omari A geographical evaluation of the most important equations for calculating surface runoff in water basins, Journal of the College of Basic Education and Humanities, University of Babylon, Issue (42), 2019, No. 881.
- [4] Clark,C.O.(1945): Storage and the Unit Hydrograph,(5) Proc. Amer .Soc .Engs., Vol.69, p.1333-1360.
- [5] Hasan Mohammed Hameed,2013, Water harvesting in Erbil Governorate, Kurdistan region, Iraq Detection of suitable sites using Geographic Information System and Remote Sensing , Department of Physical Geography and Ecosystems Science , Lund University ,Sövegatan 12 ,S- 223 62 Lund , Sweden , p23
- [6] Ali Mohsen Kamel Al- Sharifi, Zahraa Mahdi Abdul Redha Al- Abadi, Building a Surface Runoff Model for the Wadi Mazal Basin (SCS CN), Al- Qadisiyah Journal for Human Sciences, Volume (21), Issue (4) 2018, p362
- [7] McCuen, R(W,D), Hydrologic Analysis and design,(8) library of congress cataloging-in-publication data, prentice Hall, second edition, 1998, p.13.
- [8] Ali Talib Hamza Al- Ta'i Hydro-geomorphological risks in eastern Iraq between the Diyala and Karkha rivers using modern geographical techniques 2022 AD, p. 158.
- [9] Abdul Hassan Jabr Maleh Al- Saidi, Hydrology of the Wadi Jadah Basin in the Samawah Desert Using Geographical Technologies, Al- Adab Magazine, Volume (2) Issue (131) 2019 AD, p. 167.
- [10] Ali Ahmed Muhammad Qaddouri Al- Lahibi, previous source, p. 87.
- [11] Maidment, David R, Hand book of Hydrology, op. cit. p.89 (١)
- [12] Hussein Karim Hamad Al- Saadi, Amal Hadi Kadhim Al- Jabri, Spatial modeling of water harvesting in the Wadi Arar Basin in western Iraq using RC GIS techniques,

Basra Research Journal of Human Sciences, Issue (3), Volume (43), Year 2018,
p.317.

- [13] Haifa Muhammad Al- Nafi'i, previous source, p. 109. 1 (5)
- [14] Mujib Razouki Fareeh Al- Zubaidi, Hydro-geomorphological assessment of the basins southeast of Mount Peres and its effects on sustainable development, unpublished doctoral thesis, College of Education, Al- Mustansiriya University2018 AD, p135 134
- [15] Deli Khalaf Hamid, Spatial analysis to estimate the volume of surface runoff in the Wadi al- Fadl Basin in northern Iraq using geographic information systems, Adab alfarahidi Journal, Issue 25, 2016, p. 305.
- [16] Muhammad Bahjat Thamer, Characteristics of surface runoff in the Wadi Ghariba Basin and the possibility of investing in it Water Harvesting, Al- Mustansiriya University, College of Education, Department of Geography, 2023, p. 95
- [17] Hameed· H .M.(2013).Water harvesting in Erbil Governorate‘(18) Kurdistan region ، Iraq Detection of suitable sites using Geographic Information System and Remote Sensing . Department of Physical Geography and Ecosystems .p.23
- [18] Ahmed Mahmoud Ibrahim Ali Khalaf Hamid: Analysis of the hydrological characteristics of the Wadi al- Sakran Basin using the CN (SCS) method), Anbar University Journal of Human Sciences, Volume 2, Issue 1, 2022.P. 45.
- [19] Rashid, Anas Mahmoud and Iqlimus Youssef Francis, using maps and digital hydrological systems in estimating surface runoff and sediment production in Wadi Al- Shur, University of Mosul, Al- Rafidain Engineering Journal.VOLUME (12), Issue (3) (2004), p 58-45
- [20] Khalifa Abdel Hafez Dardaka, Hydrology of Surface Water and Groundwater, Dar Al- Hateen for Printing and Publishing, Amman, Jordan, 2006, 1st edition, p. 121
- [21] Radi Mahmoud Dhiyab, the relationship between surface runoff and rainfall in Wadi Samail in the Sultanate of Oman, Kuwait Geographical Society Geographic Letters, 141, Kuwait.